

ОБЪЕДИНЕННЫЙ  
ИНСТИТУТ  
ЯДЕРНЫХ  
ИССЛЕДОВАНИЙ  
ДУБНА



P-189

4885/2-77

П.П.Райчев, Р.П.Русев

12/11-77

P4 - 10886

УРОВНИ ЭНЕРГИИ

И ПРИВЕДЕННЫЕ ВЕРОЯТНОСТИ Е2-ПЕРЕХОДОВ  
ДЕФОРМИРОВАННЫХ ЧЕТНО-ЧЕТНЫХ ЯДЕР  
В СХЕМЕ SU(3)

**1977**

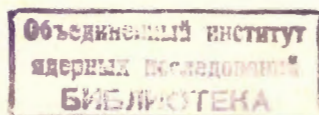
P4 - 10886

П.П.Райчев,\* Р.П.Русев \*

УРОВНИ ЭНЕРГИИ

И ПРИВЕДЕННЫЕ ВЕРОЯТНОСТИ Е2-ПЕРЕХОДОВ  
ДЕФОРМИРОВАННЫХ ЧЕТНО-ЧЕТНЫХ ЯДЕР  
В СХЕМЕ SU(3)

*Направлено в ЯФ*



\* ИЯИЯЭ Болгарской АН, София

Райчев П.П., Русев Р.П.

P4 - 10886

Уровни энергии и приведенные вероятности E2 -переходов деформированных четно-четных ядер в схеме SU(3)

В рамках схемы SU(3) даны правила вычисления приведенных матричных элементов и электрических квадрупольных операторов, а также энергий состояний в основной и гамма-ротационной полосах.

Достигнуто хорошее количественное согласие с экспериментальной картиной в области редкоземельных элементов.

Работа выполнена в Лаборатории теоретической физики ОИЯИ.

Препринт Объединенного института ядерных исследований. Дубна 1977

Raichev P.P., Rusev R.P.

P4 - 10886

Energy Levels and Reduced Probabilities of  
E2-Transitions for Deformed Even-Even Nuclei  
in SU(3) Scheme

Within the SU(3) scheme rules are given for the calculation of reduced matrix elements and electric quadrupole operators, as well as of state energies in a ground and gamma-rotational bands. A good quantitative agreement with experimental results for the rare-earth region has been achieved.

The investigation has been performed at the Laboratory of Theoretical Physics, JINR.

Preprint of the Joint Institute for Nuclear Research. Dubna 1977

1. В работе<sup>/1/</sup> выяснена роль группы SU(3) для объяснения энергетических уровней и классификации состояний легких ядер. Обзор результатов в этом направлении дается в монографиях<sup>/2,3/</sup>. Все эти работы основываются на оболочечной модели и ограничиваются рассмотрением легких ядер, принадлежащих 1p и 2s-1d -оболочкам. Применение схемы SU(3) в области тяжелых ядер считалось неправдоподобным, так как казалось, что остаточные взаимодействия в тяжелых ядрах разрушают симметрию, наблюдавшуюся в области легких ядер.

В работах<sup>/4,5/</sup> высказано предположение о том, что схема SU(3) может быть использована при описании тяжелых деформированных четно-четных ядер. При этом допускается, что спектр деформированных четно-четных ядер есть результат нарушения первоначальной SU(3) -симметрии в ядрах, т.е. нижайшие коллективные состояния деформированных четно-четных ядер объединяются в расщепленные мультиплеты группы SU(3). Формально это предположение основывается на том, что низколежащие состояния этих ядер имеют те же значения углового момента  $\ell$ , которые содержатся в мультиплете SU(3), определенном числами  $(\lambda, \mu)$ , где  $\lambda$  - четное число, а  $\mu$  принимает значения  $\mu = 0, 2, 4, \dots$ . Так, например, мультиплету  $(\lambda, 2)$  /  $\lambda$  четное/ принадлежат состояния со следующими значениями углового момента:

$$\begin{aligned} \ell = & 0, 2, 4, \dots \quad \lambda \quad (K=0) \\ & 2, 3, 4, \dots \quad \lambda+2 \quad (K=2), \end{aligned}$$

/1/

где К различает состояния с одинаковым  $\ell$ , встречающимся два раза в мультиплете. С другой стороны, энергетические спектры рассматриваемых ядер содержат две ротационные полосы - основную - ( $K''=0^+$ ) с  $\ell = 0, 2, 4, \dots$  и  $\gamma$  вибрационную - ( $K''=2^+$ ) с  $\ell = 2, 3, 4$  и т.д. Это позволяет формально предположить, что обе полосы принадлежат к  $SU(3)$  мультиплету ( $\lambda, \mu$ ) и что наблюдаемый спектр является нарушенной  $SU(3)$ -симметрией.

Предположение перестает быть формальным и приобретает физический смысл, только если построенная с его помощью схема способна описать наблюдаемый спектр деформированных четно-четных ядер, и приведенные вероятности  $E2$ -переходов между состояниями расщепленного ( $\lambda, \mu$ ) мультиплета. В<sup>/5/</sup> было показано, что если энергетический спектр возникает в результате нарушения  $SU(3)$ -симметрии, то для приведенных вероятностей  $E2$ -переходов можно получить соотношения, находящиеся в хорошем согласии с экспериментом. Остался, однако, открытым вопрос, можно ли в рамках этой схемы получить также и наблюдаемые энергетические спектры ядер. Настоящая работа посвящена этому вопросу.

2. В рассматриваемой версии схемы  $SU(3)$  предполагается, что гамильтониан можно записать в виде:

$$H = H_0 + V,$$

где  $H_0$  инвариантен относительно  $SU(3)$ , а  $V$  нарушает  $SU(3)$  симметрию, так что полный гамильтониан инвариантен только относительно группы трехмерных вращений  $O(3)$ .

Таким образом, расщепляется мультиплет ( $\lambda, \mu$ ). При этом микроскопическая реализация операторов  $H_0$  и  $V$  для нас несущественна. Роль будет играть только тензорная природа слагаемых, входящих в гамильтониан. Чтобы определить вид оператора  $V$  и его действие на базисные векторы мультиплета  $SU(3)$ , приведем некоторые результаты работы<sup>/4/</sup>.

Унитарные неприводимые представления группы  $SU(3)$  определяются двумя числами  $n$  и  $T$  ( $n = 0, 1, 2, \dots; T = \frac{n}{2}, \frac{n}{2} - 1$ ).

Состояния, принадлежащие мультиплету ( $n, T$ ), различаются значениями углового момента  $\ell$ , его проекцией  $m$  и дополнительным квантовым числом  $a$ , которое принимает целочисленные значения и отличает состояния с одинаковыми  $\ell$ , встречающиеся несколько раз в ( $n, T$ ) мультиплете. Состояния с максимальной проекцией момента  $m = \ell$  строятся следующим образом:

$$|nT\ell m a\rangle = z^\beta \xi_1^{\ell_1} (\xi_1 \eta_0 - \xi_0 \eta_1)^{\ell_2} (\xi^2)^r (A^+)^a |0\rangle. \quad /3a/$$

Здесь  $\xi_k$  и  $\eta_k$  - трехмерные векторы в сферическом базисе, а  $z$ ,  $\xi^2$  и  $A^+$  имеют следующий вид:

$$z = \xi_0 (\xi_1 \eta_0 - \xi_0 \eta_1) + \xi_1 (\xi_1 \eta_{-1} - \xi_{-1} \eta_1)$$

$$\xi^2 = \xi_0^2 + 2\xi_1 \xi_{-1}, \quad \eta^2 = \eta_0^2 + 2\xi_1 \xi_{-1}$$

$$(\xi) = \xi_0 \eta_0 + \xi_1 \eta_{-1} + \xi_{-1} \eta_1$$

$$A^+ = \xi^2 \eta^2 - (\xi \eta)^2.$$

Числа  $\ell_1$ ,  $\ell_2$ ,  $a$ ,  $\beta$  принимают целочисленные значения:

$$\ell_1 = \ell + 2a - \frac{1}{2}n + T$$

$$\ell_2 = \frac{1}{2}n - T - 2a - \beta$$

$$r = \frac{1}{2} - \left( \frac{1}{2}n - T - 2a - \beta \right)$$

$$\max \left\{ 0, \frac{1}{2} \left( \frac{1}{2}n - T - \ell \right) \right\} \leq a \leq \min \left\{ \frac{1}{2} \left( \frac{1}{2}n - T - \beta \right), \frac{1}{2} \left( \frac{n}{2} + T - \ell - \beta \right) \right\}$$

$\alpha \beta = 0$ , когда  $\frac{n}{2} + T - \ell$  четное и  $\beta = 1$  в противном случае. К сожалению, состояния /3a/ с разными  $a$  неортогональны, так как не являются собственными векторами некоторого эрмитового оператора. Можно, однако,

построить линейные комбинации  $|n T \ell \omega\rangle = \sum_a C_a^\omega |n T \ell a\rangle$ ,

которые выбираются из условия диагональности  $H$  и, следовательно, будут ортогональны как по  $\ell$ , так и по  $\omega$ .

Числа  $n, T$  и  $a$  связаны с  $\lambda, \mu$  и  $K$  схемы Эллиота с помощью

$$\lambda = 2T, \mu = \frac{n}{2} - T, K = \frac{n}{2} - 2T - 2a. \quad /5/$$

Векторы  $\xi_k$  и  $\eta_k$  рассматриваются как операторы рождения. Вакуумное состояние определяется из условия

$$\xi_k^+ |0\rangle = 0; \quad \eta_k^+ |0\rangle = 0, \quad /6/$$

где

$$\xi_k^+ = \frac{\partial}{\partial \xi_k}, \quad \eta_k^+ = \frac{\partial}{\partial \eta_k}.$$

С помощью операторов  $\xi_k^+$ ,  $\xi_k^+$  и  $\eta_k^+$ ,  $\eta_k^+$  можно построить генераторы группы  $SU(3)$ <sup>/4/</sup>. Введем следующие обозначения:

$$B_m^k = \xi_m \xi_k^+ + \eta_m \eta_k^+. \quad /7/$$

Тогда операторы углового момента записываются в виде:

$$L_0 = B_1^1 - B_{-1}^{-1}, \quad L_1 = B_1^0 - B_0^{-1}, \quad L_{-1} = L_1^+, \quad /8/$$

а тензор квадрупольного момента:

$$Q_2 = B_1^{-1}, \quad Q_1 = B_1^0 + B_0^1, \quad Q_0 = 2B_0^0 - B_1^1 - B_{-1}^{-1}, \quad Q_{-m} = Q_m^+. \quad /9/$$

Приступим теперь к определению вида оператора  $V$  в /2/. Еще Эллиотом было показано<sup>/1/</sup>, что если  $V$  имеет вид  $Q \cdot Q$  взаимодействия, т.е.  $\ell = 2, 3, 4 \dots n=3$ ,

$$V = \kappa Q \cdot Q = \kappa \sum_m (-1)^m Q_{-m} Q_m, \quad /10/$$

то порождаемый им спектр имеет ротационный характер, т.е. мультиплет расщепляется по закону  $\kappa \ell(\ell+1)$ . Этот способ нарушения симметрии неудовлетворителен, поскольку состояния с одинаковыми  $\ell$ , принадлежащие различным полосам, получаются с одинаковыми энергиями, что противоречит эксперименту.

Баргманн и Мошинский<sup>/6/</sup> показали, что существует еще один оператор, который снижает  $SU(3)$ -симметрию до  $O(3)$ . Этот оператор имеет вид:

$$\Omega_1 = Q^3 = \sum_{\mu\nu\lambda} Q_{\mu\nu} Q_{\mu\lambda} Q_{\nu\lambda} \quad /11/$$

и может быть интерпретирован как ангармоническое квадрупольное взаимодействие. Оказывается, однако, что при применении этого оператора состояния второй полосы получаются ниже, чем соответствующие состояния основной полосы, и поэтому он непригоден для описания спектра.

В<sup>/4/</sup> показано, что существует еще один оператор  $\Omega_2 = A^+ A$ , который инвариантен относительно  $O(3)$  и расщепляет  $(n, T)$ -мультиплет. Здесь  $A^+$  дается выражением /3/, а  $A$  - эрмитово сопряженный к  $A^+$ . Смысл оператора  $\Omega_2$  выясняется следующим образом. Если считать, что операторы  $\xi_k$  и  $\eta_k$  рождают частицы с "псевдоспином"  $1/2$  и проекцией псевдоспина  $+1/2$  и  $-1/2$  соответственно, то можно ввести операторы "псевдоспиновой" группы

$$T_1 = \frac{1}{\sqrt{2}} (\xi \eta^+), \quad T_{-1} = \frac{1}{\sqrt{2}} (\eta \xi^+), \quad T_0 = \frac{1}{2} (\xi \xi^+ - \eta \eta^+). \quad /12/$$

С помощью этих операторов легко можно проверить, что  $\xi^2, \xi \eta$  и  $\eta^2$  - операторы рождения пары частиц с угловым моментом  $\ell = 0$  и проекцией "псевдоспина"  $1, 0$  и  $1$  соответственно. Единственную инвариантную комбинацию с нулевым угловым моментом и нулевым псевдоспином, которую можно построить с помощью  $\xi^2, \xi \eta$  и  $\eta^2$ , является оператор  $A^+ = \xi^2 \eta^2 - (\xi \eta)^2$ . Поэтому оператор  $A^+$  можно рассматривать как оператор рождения четырех частиц с нулевым спином и псевдоспином. Такая система

является естественным обобщением пары сверхпроводящего типа в ядре, а оператор  $\Omega_2 = A^+ A$  можно условно рассматривать как оператор числа "альфаподобных образований" в ядре. Оператор  $\Omega_2$  действует только на состояния основной ротационной полосы.

3: В данной работе мы выбираем оператор взаимодействия в следующем виде:

$$V = \mu Q^2 - \kappa (\Omega_1 - \lambda \Omega_2) \quad /13/$$

и используем его для ортогонализации базиса и для нахождения энергетического спектра ряда тяжелых деформированных четно-четных ядер. Мы рассматриваем часто встречаемый случай, когда имеются две ротационные полосы - основная ( $K''=0^+$ ) и  $\gamma$ -ротационная ( $K''=2^+$ ). В этом случае  $n$  - четное, а  $T = \frac{n}{2} - 2$  и возможны следующие состояния:

a/ Основная полоса. Здесь  $a = 1$ ,  $a = 0, 2, \dots, n-4$ . Остальные квантовые числа равны

$$\ell_1 = \ell, \ell_2 = 0, r = \frac{1}{2}(n - \ell - 4), \beta = 0. \quad /14/$$

б/ Полоса  $a = 0$ . Угловой момент принимает значения  $\ell = 2, 3, 4, \dots, n-3$ , а остальные квантовые числа определяющие базисные векторы, следующие:

$$\begin{aligned} \ell_1 &= \ell - 2, \ell_2 = 2 - \beta, r = \frac{1}{2}(n - \ell - 2 - \beta); \\ \beta &= \begin{cases} 0 & \ell - \text{четное} \\ 1 & \ell - \text{нечетное.} \end{cases} \quad /15/ \end{aligned}$$

Матричные элементы оператора  $\Omega_1$  имеют следующий вид /  $\ell$  - четное/:

$$\begin{aligned} < n T \ell 1 | \Omega_1 | n T \ell 1 > &= -(2k-3) \ell(\ell+1) - 6\ell(\ell-1) \\ < n T \ell 1 | \Omega_1 | n T \ell 0 > &= -6(2n-3) + 6(2\ell+1) \\ < n T \ell 0 | \Omega_1 | n T \ell 1 > &= 12\ell(\ell-1) \\ < n T \ell 0 | \Omega_1 | n T \ell 0 > &= -(2n-3)[\ell(\ell+1)-12] + 6\ell(\ell-1). \end{aligned} \quad /16/$$

Состояния с нечетным  $\ell$  встречаются только в полосе  $a=0$  и существует только один матричный элемент

$$< n T \ell 0 | \Omega_1 | n T \ell 0 > = -(2n-3)[\ell(\ell+1)-12]. \quad /17/$$

Матричные элементы оператора  $\Omega_2$  имеют вид:

$$\begin{aligned} < n T \ell 1 | \Omega_2 | n T \ell 0 > &= 2(n+\ell)(n-\ell-2) \\ < n T \ell 1 | \Omega_2 | n T \ell 1 > &= 4(n-1)^2 - 2\ell(\ell+1). \end{aligned} \quad /18/$$

Остальные матричные элементы этого оператора равны нулю.

Собственные векторы оператора /1/ ищем в виде

$$| n T \ell \omega > = \sum_{a=0,1} < n T \ell a | n T \ell \omega > | n T \ell a >, \quad /19/$$

где  $| n T \ell \omega >$  удовлетворяют уравнения

$$V | n T \ell \omega > = \omega | n T \ell \omega >. \quad /20/$$

Легко видеть, что в случае четных  $\ell$  собственными значениями оператора  $V$  являются корни секулярного уравнения

$$\begin{vmatrix} < n T \ell 0 | V | n T \ell 0 > - \omega & < n T \ell 1 | V | n T \ell 0 > \\ < n T \ell 0 | V | n T \ell 1 > & < n T \ell 1 | V | n T \ell 1 > - \omega \end{vmatrix} = 0. \quad /21/$$

Таким образом, для энергии четных состояний получаем

$$E_\ell^\pm = \frac{\mu \ell(\ell+1) + \kappa \{(2n-3)[\ell(\ell+1)-6]-\lambda[2(n-1)^2+\ell(\ell+1)] \pm \sqrt{[6(2n-3)+\lambda[2(n-1)^2-\ell(\ell+1)]]^2+36(1+\frac{\lambda}{3})(\ell-1)(\ell+1)(\ell+2)}}{2} \quad /22/$$

где  $E_\ell^-$  относится к основной полосе, а  $E_\ell^+$  - к  $\gamma$ -ротационной. Энергия основного состояния отсчитывается от значения

$$\omega(\ell = 0) = \kappa \lambda 4(n-1)^2.$$

/23/

При этом  $E_\ell^\pm = \omega^\pm(\ell) - \omega(\ell = 0)$ .

Аналогично для состояний с нечетными  $\ell$  получаем:

$$E_\ell = \mu \ell(\ell+1) + \kappa \{ (2n-3)[\ell(\ell+1)-12] - 4\lambda(n-1)^2 \}. \quad /24/$$

Здесь параметры  $\mu$ ,  $\kappa$ ,  $\lambda$  определяются из эксперимента, а квантовое число  $n$  зависит от максимального спина  $\ell_{\max}$  в основной полосе. Оказывается, однако, что результаты несущественно меняются с изменением  $n$ , так что в дальнейшем мы будем полагать  $n=14$ .

4. Для определения приведенных вероятностей  $E_2$ -переходов надо найти матричные элементы оператора  $Q$  между состояниями /19/. Воспользуемся соотношением

$$Q_0 |nT\ell_a\rangle = \sum_{\substack{s=0,\pm 1 \\ k=0,1,2}} a_s^{(k)} (L_{-1})^k |nT\ell + k, a+s\rangle,$$

где коэффициенты  $a_s^{(k)}$  были вычислены в /4,5/. Тогда

$$\begin{aligned} Q_0 |nT\ell_a\rangle &= \sum_a \sum_{k,s} \langle nT\ell_a | nT\ell_a \rangle a_s^{(k)} (L_{-1})^k |nT\ell+k, a+s\rangle \\ &= \omega' \sum_{a,k,s} \langle nT\ell_a | nT\ell_a \rangle \langle nT\ell+k, a+s | nT\ell+k, a+s \rangle \times \\ &\quad \times a_s^{(k)} (L_{-1})^k |nT\ell+k, a+s\rangle. \end{aligned}$$

Коэффициенты преобразования  $\langle nT\ell_a | nT\ell_a \rangle$  определяются с помощью уравнения /20/, после чего нетрудно определить матричные элементы  $\langle nT\ell+k, a+s | Q | nT\ell_a \rangle$ .

Таблица 1  
Значения параметров  $\mu$ ,  $\kappa$  и  $\lambda$  для ядер редкоземельной области

Ядро	$\mu$	$\kappa$	$\lambda$	ядро	$\mu$	$\kappa$	$\lambda$
152 Sm	-11,51	1,001	-2,003	168 Yb	-8,20	0,757	-2,298
154 Sm	-25,59	1,356	-2,008	170 Yb	-II, II	0,839	-2,400
154 Gd	-8,56	0,906	-2,015	174 Yb	-22,20	1,163	-2,534
156 Gd	-13,35	0,940	-2,231	174 Hf	-10,97	0,855	-2,477
158 Gd	-17,66	1,068	-2,058	176 Hf	-3,44	0,532	-4,062
160 Dy	-10,67	0,862	-2,035	178 Hf	-8,17	0,775	-2,640
162 Dy	-2,36	0,498	-2,994	180 Hf	-9,57	0,836	-2,484
164 Dy	-3,06	0,503	-2,591	182 W	-10,80	0,920	-2,364
160 Er	-3,00	0,748	-1,989	186 W	-2,25	0,613	-2,008
164 Er	-7,09	0,767	-2,012	186 Os	-2,33	0,649	-2,006
166 Er	-1,34	0,470	-2,804	184 Os	-3,93	0,780	-2,146
168 Er	-6,68	0,690	-2,124	182 Os	-3,45	0,780	-2,020

Таблица 2  
Значения энергий (в кэВ) и отношения приведенных  
вероятностей E2-переходов

$^{152}\text{Sm}$					
K=0			K=2		
J	E <sub>J</sub> (exp)	E <sub>J</sub> (th)	J	E <sub>J</sub> (exp)	E <sub>J</sub> (th)
2	121,78	104,88	2	1085,8	1136,96
4	366,44	346,12	3	1233,8	1217,77
6	706,90	713,95	4	1371,6	1330,29
8	1125,60	1139,86			
10	1609,00	1748,47			

B(E2; 2 <sub>2</sub> → 0 <sub>0</sub> )	B(E2; 4 <sub>2</sub> → 2 <sub>0</sub> )	B(E2; 2 <sub>2</sub> → 4 <sub>0</sub> )	B(E2; 4 <sub>2</sub> → 6 <sub>0</sub> )
B(E2; 2 <sub>2</sub> → 2 <sub>0</sub> )	B(E2; 4 <sub>2</sub> → 4 <sub>0</sub> )	B(E2; 2 <sub>2</sub> → 2 <sub>0</sub> )	B(E2; 4 <sub>2</sub> → 4 <sub>0</sub> )
exp	th	exp	th
0,408	0,408	0,095	0,071
0,086	0,133	0,114	0,363

$^{154}\text{Sm}$					
K=0			K=2		
J	E <sub>J</sub> (exp)	E <sub>J</sub> (th)	J	E <sub>J</sub> (exp)	E <sub>J</sub> (th)
2	82,0	82,13	2	1440,6	1483,90
4	266,9	269,08	3	1540,0	1533,26
6	544,3	547,73	4	1660,0	1605,62
8	903,4	893,13			

B(E2; 2 <sub>2</sub> → 0)	B(E2; 4 <sub>2</sub> → 2 <sub>0</sub> )	B(E2; 2 <sub>2</sub> → 4 <sub>0</sub> )			
B(E2; 2 <sub>2</sub> → 2 <sub>0</sub> )	B(E2; 4 <sub>2</sub> → 4 <sub>0</sub> )	B(E2; 2 <sub>2</sub> → 2 <sub>0</sub> )			
exp	th	exp	th	exp	th
0,434	0,409	0,156	0,072	0,135	0,132

Таблица 2 (продолжение)

$^{160}\text{Dy}$			K=2		
J	E <sub>J</sub> (exp)	E <sub>J</sub> (th)	J	E <sub>J</sub> (exp)	E <sub>J</sub> (th)
2	86,9	86,07	2	966,I	994,I8
4	263,8	284,08	3	1049,I	1059,I8
6	581,0	586,07	4	1155,9	1149,72
8	967,0	976,80	5	1288,5	1254,85
10	1428,7	1434,62	6	1438,I	1403,29

B(E2; 2 <sub>2</sub> → 0 <sub>0</sub> )	B(E2; 4 <sub>2</sub> → 2 <sub>0</sub> )	B(E2; 2 <sub>2</sub> → 4 <sub>0</sub> )	B(E2; 4 <sub>2</sub> → 6 <sub>0</sub> )		
B(E2; 2 <sub>2</sub> → 2 <sub>0</sub> )	B(E2; 4 <sub>2</sub> → 4 <sub>0</sub> )	B(E2; 2 <sub>2</sub> → 2 <sub>0</sub> )	B(E2; 4 <sub>2</sub> → 4 <sub>0</sub> )		
exp	th	exp	th	exp	th
0,532	0,415	0,143	0,076	0,064	0,134
0,214	0,356				

$^{162}\text{Dy}$			K=2		
J	E <sub>J</sub> (exp)	E <sub>J</sub> (th)	J	E <sub>J</sub> (exp)	E <sub>J</sub> (th)
2	80,7	78,5I	2	888,2	919,57
4	265,7	261,7I	3	963,0	980,I8
6	548,5	549,56	4	1061,0	1061,0I
8	920,9	942,03	5	1182,8	1162,02
10	1374,6	1439,0I			

B(E2; 2 <sub>2</sub> → 0 <sub>0</sub> )	B(E2; 4 <sub>2</sub> → 2 <sub>0</sub> )	B(E2; 2 <sub>2</sub> → 4 <sub>0</sub> )	B(E2; 4 <sub>2</sub> → 6 <sub>0</sub> )		
B(E2; 2 <sub>2</sub> → 2 <sub>0</sub> )	B(E2; 4 <sub>2</sub> → 4 <sub>0</sub> )	B(E2; 2 <sub>2</sub> → 2 <sub>0</sub> )	B(E2; 4 <sub>2</sub> → 4 <sub>0</sub> )		
exp	th	exp	th	exp	th
0,526	0,548	0,143	0,189	0,053	0,090
0,224					
0,116					

Таблица 2 (продолжение)

$^{164}\text{Er}$					
$K=0$			$K=2$		
J	$E_J(\text{exp})$	$E_J(\text{th})$	J	$E_J(\text{exp})$	$E_J(\text{th})$
2	91,4	90,81	2	860,3	885,53
4	299,5	300,05	3	946,3	957,82
6	614,3	620,34	4	1058,3	1057,82
8	1024,3	1037,63	5	1197,5	1175,32
10	1517,6	1532,50	6	1358,3	1357,08
$B(E2; 2_2 \rightarrow 0_0)$		$B(E2; 4_2 \rightarrow 2_0)$		$B(E2; 2_2 \rightarrow 4_0)$	
$B(E2; 2_2 \rightarrow 2_0)$		$B(E2; 4_2 \rightarrow 4_0)$		$B(E2; 2_2 \rightarrow 2_0)$	
exp	th	exp	th	exp	th
0,446	0,410	0,073	0,072	0,112	0,132

$^{166}\text{Er}$					
$K=0$			$K=2$		
J	$E_J(\text{exp})$	$E_J(\text{th})$	J	$E_J(\text{exp})$	$E_J(\text{th})$
2	80,6	78,24	2	785,9	811,91
4	265,0	260,60	3	859,4	874,35
6	545,4	546,44	4	956,2	957,89
8	911,2	934,45	5	1075,3	1061,70
10	1344,0	1421,66	6	1215,9	1187,97
$B(E2; 2_2 \rightarrow 0_0)$		$B(E2; 4_2 \rightarrow 2_0)$		$B(E2; 2_2 \rightarrow 4_0)$	
$B(E2; 2_2 \rightarrow 2_0)$		$B(E2; 4_2 \rightarrow 4_0)$		$B(E2; 2_2 \rightarrow 2_0)$	
exp	th	exp	th	exp	th
0,538	0,527	0,175	0,170	0,097	0,095
				0,254	0,243

Таким образом, для отношения приведенных вероятностей

$E2$ -переходов, т.е. для  $\frac{2_2 \rightarrow 0}{2_2 \rightarrow 2_0}$ ,  $\frac{4_2 \rightarrow 2_0}{4_2 \rightarrow 4_0}$ ,  $\frac{2_2 \rightarrow 4_0}{2_2 \rightarrow 2_0}$  и

т.д. мы получаем громоздкие выражения, которые приводить не будем. Существенно, однако, что эти выражения зависят только от параметра  $\lambda$ .

5. При помощи формул /22/, /24/ и выражений для отношения приведенных вероятностей  $E2$ -переходов параметры  $\mu$ ,  $\kappa$  и  $\lambda$  были определены примерно для 30 ядер /табл. 1/. Следует отметить, что параметр  $\lambda$  мало меняется от ядра к ядру и в этом смысле оператор  $\Omega_1 - \lambda \Omega_2$  в /13/ является одним и тем же для всех ядер. Параметр  $\kappa$  также меняется не очень сильно, но параметр  $\mu$  испытывает большие изменения. Это легко понять, имея в виду, что член  $\mu Q^2$  дает основной вклад в момент инерции и в основном определяет деформацию ядра.

Сравнение результатов рассматриваемой нами версии схемы SU(3) с экспериментальными данными для некоторых ядер показано в табл. 2. Видно, что оператор /13/ правильно описывает энергетический спектр деформированных четно-четных ядер и вместе с тем дает разумные значения для относительных вероятностей  $E2$ -переходов.

Авторы благодарят Г.Н.Афанасьева за обсуждения и С.Р.Аврамова за помощь при численных расчетах. Один из них /П.Р./ приносит благодарность проф. В.Г.Соловьеву за поддержку и гостеприимство в ОИЯИ.

#### Литература

1. Elliot J.R. Proc.Roy.Soc., 1958, A245, 128.
2. Harvey M. Advances in Nucl.Phys., v. 1, Plenum Press, N.Y., 1968.
3. Halbert E.C. e.a. Advances in Nucl.Phys., v. 4, Plenum Press, N.Y., 1970.
4. Афанасьев Г.Н., Аврамов С.Р., Райчев П.П. ЯФ, 1972, 16, 53.
5. Райчев П.П. ЯФ, 1972, 16, 1171.
6. Bargmann V., Moshinsky M. Nucl.Phys., 1960, 18, 697; 1961, 23, 177.

Рукопись поступила в издательский отдел  
22 июля 1977 года.